

総期待費用最小化原則に基づく最適安全性指標

OPTIMUM SAFETY INDICES BASED ON EXPECTED TOTAL COST MINIMIZATION

長 尚*

By Takashi CHOU

Optimum safety indices are presented, based on expected total cost minimization using only three parameters, which are the level of the failure cost to the initial cost, τ , the extent of increased initial cost by improvement in safety, ν , and the order of the initial cost function, n . By some numerical examinations, magnitudes of these parameters are discussed for the civil engineering design problems.

The optimum safety indices, which are shown by contour line graphs, three order equations and others, are considerably affected by τ , while the other two parameters give slight effects on them.

1. まえがき

総期待費用最小化原則に基づいて、個々の具体的な構造物の設計とか、設計法全体について、しばしば議論される。^{1) 2) 3)} このような議論の是非について考えるためには、この原則に基づく設計の、最適な安全のレベルがどの程度の値で、それらはどのような要因によって、どのような影響を受けるかについて知ることがどうしても必要である。このようなことについて、数値的に明示するのが本文の目的である。従来この原則に基づく設計の問題は、初期費用を公称安全率もしくは設計用荷重の関数とし、破壊基準関数の強度項と荷重項を特定な確率分布に仮定して扱われている。^{1) 2) 3)} そのために一般性のある結果が得られないばかりでなく、後述するように不適切な結論を得る可能性もある。

本文では、破壊確率を表に出さないで、安全性指標（信頼性指標）を用いて定式化している。さらに安全に余裕がない場合の初期費用を基本に用いて、すべての費用を無次元化し、かつ安全度の増加に伴う初期費用の増加割合という概念を導入して、初期費用を安全性指標の関数として、最適安全性指標を求ることとした。その結果、強度項と荷重項に特定な確率分布を仮定する必要はなくなり、しかも、この原則に基づく最適な安全のレベル、すなわち最適安全性指標が、数少ないパラメータのみによって決まるうことになり、簡単な図もしくは式で表現することが可能となった。

2. 定式化

* 工博 信州大学教授 工学部社会開発工学科 (〒380 長野市若里 500番地)

一般に総期待費用最小化の原則に基づく設計とは、次の式（1）の条件を満たす、最適破壊確率 $p_{f, \text{opt}}$ になるように、設計することを言う。

$$C_T(p_{\tau}) = C_I(p_{\tau}) + p_{\tau} C_F(p_{\tau}) \rightarrow \min. \quad \dots \dots \dots \dots \dots \dots \quad (1)$$

ここに、 C_T は総費用、 C_I は初期費用（ただし保守費も含む）、 C_F は破壊損失費用、 p_F は破壊確率である。

先ず初期費用 C_1 は β の n 次式で、次のように表わせるものとする。

ここに、 $C_{1.0}$ は $\beta = 0$ の時の費用、つまり安全余裕がない場合の費用、 k は常数である。この k は、 $\beta = 5$ の時の費用、つまり破壊確率 p_f が 3×10^{-7} になるように安全余裕をとった場合（付記1参照）の費用である $C_{1.5}$ の $C_{1.0}$ に対する比である v 、すなわち

と次数 n から決まるもので、次式で計算される。

次に破壊損失費用 C_F は初期費用 C_i の τ (常数) 倍であるとして (付記2参照)、次のように表わす。

式(2)、(5)の関係と、

で表わされる安全性指標 β と破壊確率 p_t の関係を用いると、式(1)は次のようになる。なお $\Phi(\cdot)$ は標準正規分布関数である。

$$C_T(\beta) = C_{1,0}(1+k\beta^n)\{1+\Phi(-\beta)\tau\} \rightarrow \min. \quad \dots \dots \dots \quad (7)$$

ここで、 $C_{1,0}$ は常数であるから、 C_T を最小化する代わりに、無次元化された総期待費用である、次の η を最小化することから β_{opt} が求められる。

$$\eta = C_T (\beta) / C_{1,0} = (1 + k \beta^n) \{ 1 + \Phi(-\beta) \tau \} \dots \dots \dots \dots \dots \quad (8)$$

さて、Newton-Raphson法の繰り返し演算で、 β_{opt} を求めるものとすれば、次式によることとなる。

$$\beta^{j+1} = \beta^j - (\frac{d\eta/d\beta}{d^2\eta/d\beta^2})_j \quad \dots \dots \dots \dots \dots \dots \dots \quad (9)$$

ここに、 j は繰り返し回数で、 $(d^n \eta / d \beta)^j$ および $(d^2 \eta / d \beta^2)^j$ は次のようにある。

$$(\mathrm{d} \eta / \mathrm{d} \beta)_j = n k \beta_j^{n-1} \{ 1 + \Phi(-\beta_j) \tau \} - (1 + k \beta_j^n) \phi(-\beta_j) \tau \quad (10)$$

$$\begin{aligned} (\frac{d^2}{d\beta^2} \eta)_{ij} &= n(n-1)k\beta_j^{n-2} \{1 + \Phi(-\beta_j)\tau\} \\ &\quad + \{-2nk\beta_j^{n-1} + (1+k\beta_j^n)\beta\} \phi(-\beta_j)\tau \quad \dots \quad (11) \end{aligned}$$

なお上式中の $\phi(\cdot)$ は標準正規確率密度関数である。

結局 β_{opt} は、 τ （破壊損失費用の程度）、 v （安全度の増加に伴う初期費用の増加割合）、 n （安全度の増加に伴う初期費用の増加曲線の形）の三つのパラメータによって決まる。なお図-1に β を横軸に、縦軸に無次元化された初期費用である。

と、無次元化された破壊期待費用である、

$$\mu = \Phi(-\beta) C_F / C_{I,0} = \Phi(-\beta)(1 + k\beta^n)^{-1} \tau \quad \dots \quad (13)$$

及びこれらの和である η を取って、 μ 、 λ 、 η の関係の概念図を示す。

3. パラメータ τ 、 v 、 n の値

本文で用いるパラメータの値は、次のようなものとする。

破壊損失費用 C_F の初期費用の C_1 に対する比 τ の値の範囲の最低値を 2 としたのは、構造物の破壊による直接損失と経済的・社会的影響による間接損失を考慮すると、一般には 2 よりもっと大きな値となると考えられることによる。上限値の判断は極めて困難である。文献1)では、100 としてあるが、もっと大きくなることも有り得ると考えて 1000 とした。なお文献1)での値は厳密には本文の τ ではない。本文では、破壊損失費用はそれぞれのレベルの初期費用の常数倍としているが、文献1)では特定のレベルである現行設計の初期費用の常数倍としている。

初期費用 C_1 を式(2)のように β の n 次式とした場合の次数であるパラメータ n と、式(3)で定義した、 $\beta = 0$ の時の費用 $C_{1,0}$ に対する $\beta = 5$ の時の費用 $C_{1,5}$ の比であるパラメータ v の値は、問題の性質により違ってくる。

さて、初期費用 C_1 は中央安全率 s_c の 1 次式であるとして、次のように表わす。

$$C_1 - (S_c) = C_1 - (S_c = 1) \{ 1 + q (S_c - 1) \} \quad \dots \dots \dots \dots \dots \dots \quad (15)$$

文献1)では、初期費用 C_1 を次のように表わしている。

$$C_1(s_n) = C_1(s_{n0}) [1 + b \{ (s_n / s_{n0}) - 1\}] \quad \dots \dots \dots \dots \dots \quad (16)$$

ここに、 s_n は公称安全率、 s_{no} は現行設計の公称安全率、 b は常数で $0.4 \sim 0.6$ （文献2）での常数を b に換算すると 0.6 となる）である。

ここで、常数 a を用いて

とおくと、式(15)から $C_1(s_{n_0})$ は次のように表わされる。

$$C_1(s_{n0}) = C_1(s_e = 1) \{ 1 + q (a s_{n0} - 1) \} \quad \dots \dots \dots \dots \dots \dots \quad (18)$$

この関係を式(16)に用いると次のような式が得られる。

C₁ (sec)

$$= C_1 \quad (S_e = 1) \quad \{ 1 + q \left(a_{S_{\text{no}}} - 1 \right) \} \quad [1 + b \left\{ (S_e / a_{S_{\text{no}}}) - 1 \right\}]$$

(15) と (19) の s_i に掛る係数は等しくなければならないから、次の式が成立する。

$$q = [b \{1+q(a_{S_{no}-1})\}] \diagup (a_{S_{no}}) \quad \dots \dots \dots$$

たかって式(15)中の常数 a は、式(16)中の常数 b を用いて次のように表わされる。

$a = 1.5$ 、 $s_{no} = 1.7$ （常時）～1.15（地震時）、 $b = 0.4$ ～0.6として、式(21)から q を求める、 0.21 ～ 0.47 を得る。文献1では、対象を鋼道道路橋としているが、本文ではもっと広い一般的な構造物を対象としているので、以下次のような q の値を用いて、 γ と ρ の値について検討する。

なお建築構造物を対象にした文献3)では、 q に相当する値を逆算すると0.09~0.16程度となるが、これは現行設計の2倍の公称安全率で設計しても初期費用は20~30%程度しか増えないことに相当し、対象が建築構造物としても小さすぎるよう思う。

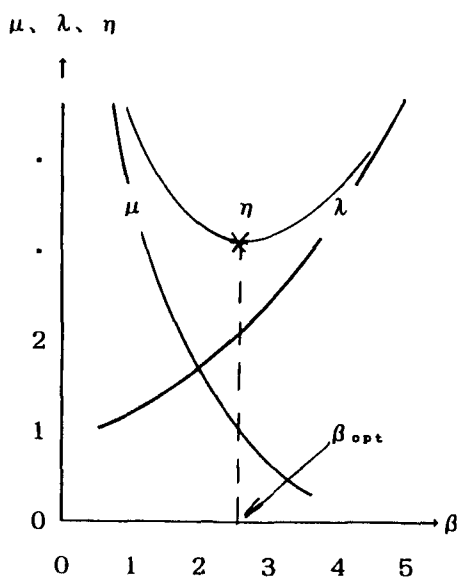


図-1 無次元化された費用による概念図

ところで v と n の値は、破壊基準関数の統計確率的性質、すなわち確率分布形の違い及びバラツキの大小に影響されるものと予想される。一般に破壊基準関数は多数の確率変数の関数として表わされるが、強度項をまとめて x_1 とし、荷重項をまとめて x_2 とすれば、破壊基準関数 g は次のように表わされる。

通常あり得ると思われる確率分布形と、変動係数の組合せの幾つかのケース（表-1 の D_1 、 D_2 及び V_1 、 V_2 ）について、設計目標安全性指標 $\beta_D = 1$ 、 2 、 3 、 4 、 5 となるように、 x_2 の平均値を 1 として x_1 の平均値、すなわち中央安全率を求め⁴⁾て、次の式から λ (β_D) 、 v を求めた。

またnの値は、図-2に示すような図から判断した。この図には、 λ (β_D) が*印で表示され、

$$\lambda = 1 + k \beta, \quad 1 + k \beta^2, \quad 1 + k \beta^3$$

• • • • • • • • • • (26)

の直、曲線も描かれている。なお、この図は、
 $V_1 = 0.2$ 、 $V_2 = 1.0$ 、 $D_1 = B_1$ 、 $D_2 = E$ の場合である。 ν 、 n を表-1に示す。

これらの図表中の記号は次のような確率分布であることを示す。N：正規分布、L：対数正規分布、W₁：ワイブル分布（下限値＝平均値－2×標準偏差）、W₂：ワイブル分布（下限値＝平均値－3×標準偏差）、B₁：ベータ分布（下限値＝平均値－2×標準偏差、上限値＝平均値＋3×標準偏差）、B₂：ベータ分布（下限値＝平均値－3×標準偏差、上限値＝平均値＋4.5×標準偏差）、E：極値分布（最大値）

確率分布形の組み合わせの中に x_1 を正規分布としたものがないのは、既に指摘している^{4) 5)} ように、このような場合には、中央安 全率をいくら高めても、 β は $1/V_1$ を越えないという不合理があり、実際的でないからである。

ここで用いた変動係数の値は実際の状況を勘案して、荷重項の変動係数が強度項のそれより大きく取つてある。そのため ν の値は、荷重項の確率分布の形と変動係数の違いに影響を受け、強度項の確率分布の形の違いの影響をほとんど受けていない。また荷重項を対数正規分布とした場合は、変動係数が大きくなると、他の確率分布の場合と違って、 ν の値が極端に大きくなっている。これは対数正規分布は変動係数の大小によりその分布形状が変化し、変動係数の値が大きいとかなり特殊な分布形状となり^⑨、変数の大きい部分の確率密度関数の裾野の形状が、極めて特殊なものになる（確率密度関数値がなかなか 0 に近付かない。付記 3 参照）ためである。通常、そのような裾野の情報を用いて対数正規分布と判断するのではないから、このような極めて特殊な分布は実際的でないと判断すべきであろう。また、 $k < 1$ のケースもあるが、これらはいずれも上下限値が平均値に近い特殊な場合である。よってこのようなケースを除き、表-1 から、大

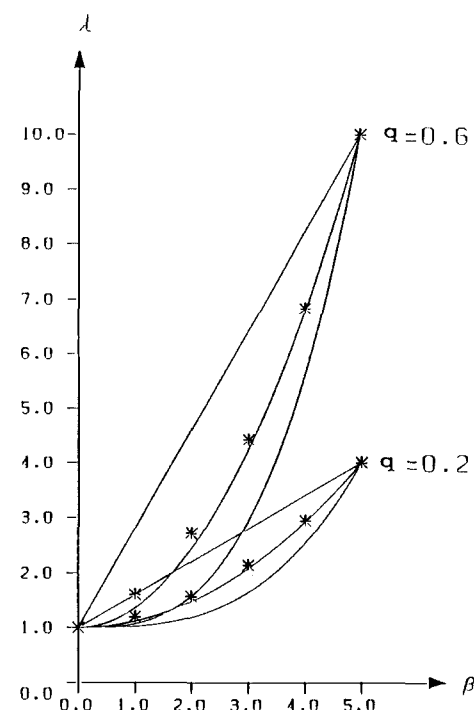


図-2 無次元化された初期費用の計算例

表-1 v 、 n の値

V ₁ V ₂	0.15, 0.25			0.2, 0.5			0.2, 0.7			0.2, 1.0		
	q		n	q		n	q		n	q		n
	D ₁	D ₂		0.2	0.6		0.2	0.6		0.2	0.6	
L N	1.45	2.34	1.4	1.94	3.82	1.5	2.23	4.68	1.5	2.67	6.00	1.5
L L	1.63	2.88	1.8	3.16	7.49	2.2	5.37	14.1	3.0	11.2	31.6	3.0
L B ₁	1.42	2.25	1.1	1.86	3.58	1.2	2.09	4.28	1.2	2.45	5.35	1.2
L B ₂	1.45	2.36	1.2	1.95	3.84	1.3	2.22	4.67	1.3	2.65	5.94	1.3
L E	1.74	3.21	2.0	2.60	5.81	2.0	3.18	7.54	2.0	4.06	10.2	2.0
W N	1.37	2.11	1.0	1.79	3.37	1.1	2.06	4.18	1.1	2.47	5.41	1.2
W ₂ N	1.45	2.34	1.2	2.04	4.11	1.4	2.36	5.07	1.5	2.84	6.53	1.5
W L	1.59	2.78	1.7	3.14	7.42	2.1	5.41	14.2	3.0	11.3	31.9	3.1
W ₂ L	1.66	2.97	1.8	3.35	8.06	2.2	5.60	14.8	2.8	11.4	32.2	3.1
W B ₁	1.28	1.85	0.9	1.59	2.78	0.9	1.78	3.35	0.9	2.06	4.19	0.9
W B ₂	1.43	2.30	1.0	2.01	4.03	1.2	2.32	4.95	1.3	2.78	6.33	1.3
W E	1.71	3.13	1.9	2.53	5.59	1.9	3.10	7.29	1.9	3.96	9.88	2.0
W ₂ E	1.77	3.31	2.0	2.78	6.33	2.0	3.42	8.27	2.0	4.39	11.2	2.0
B N	1.38	2.13	1.0	1.80	3.41	1.1	2.08	4.23	1.1	2.49	5.47	1.1
B ₂ N	1.42	2.26	1.1	1.95	3.84	1.4	2.24	4.73	1.5	2.70	6.10	1.5
B L	1.60	2.81	1.7	3.19	7.56	2.1	5.45	14.4	2.8	11.5	32.4	3.1
B ₂ L	1.62	2.87	1.8	3.21	7.63	2.2	5.40	14.2	2.8	11.1	31.3	3.0
B B ₁	1.29	1.86	0.8	1.60	2.80	0.8	1.79	3.36	0.8	2.07	4.21	0.8
B B ₂	1.41	2.22	1.0	1.93	3.78	1.2	2.21	4.63	1.2	2.64	5.91	1.2
B E	1.72	3.16	1.9	2.56	5.67	2.0	3.13	7.40	2.0	4.01	10.0	2.0
B ₂ E	1.73	3.20	2.0	2.65	5.95	2.0	3.26	7.77	2.0	4.16	10.5	2.0

凡の v と n の値の範囲を次のように判断し、以下この範囲で議論することとする。

$$v = 1.5 \sim 15 \quad \dots \dots \dots \quad (25)$$

$$n = 1 \sim 3 \quad \dots \dots \dots \quad (26)$$

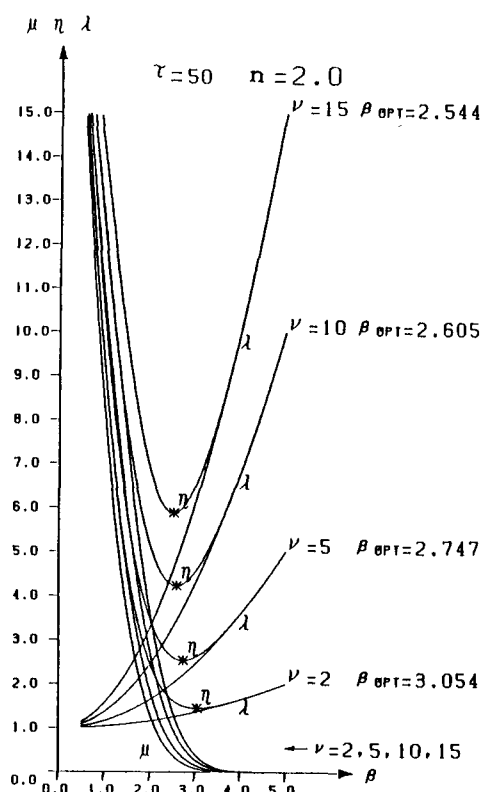
なお v の下限値の 1.5 は、安全余裕のないものに比べて、極めて安全余裕を取った $\beta = 5$ で設計されたものの初期費用が、50% 増であることを意味する。通常この費用増が 50% を下回ることは先ず考えられないから、これを v の下限値とすることは、常識にも合致すると思う。

4. 計算結果の図示

無次元化された初期費用 λ 、破壊期待費用 μ 、総費用 η と最適安全性指標 β_{opt} についての関係の例のうち、下記の n 、 v 、 τ の値の場合について、図-3 に示す。

$$\begin{aligned} n &= 2, v = 2, 5, 10, 15, \tau = 50 \\ &\dots \dots \dots \quad (27) \end{aligned}$$

前述したように、最適安全性指標 β_{opt} は、 τ （破壊損失費用の程度）、 v （安全度の増加に伴う初期費用の増加割合）、 n （安全度の増加に伴う初期費用の増加曲線の形）の三

図-3 無次元化された費用と β_{opt} の関係の例

つのパラメータによって決まる。図-4. 1～4. 3に、

の組合せについて、縦軸に $\log_{10} \tau$ を取って、最適安全性指標 β_{opt} (横軸) を示す。

次に縦軸に $\log_{10} \tau$ を、横軸に v を取って、最適安全性指標 β_{opt} をその等高線で表示したものを、図 5. 1～5. 3 に示す。

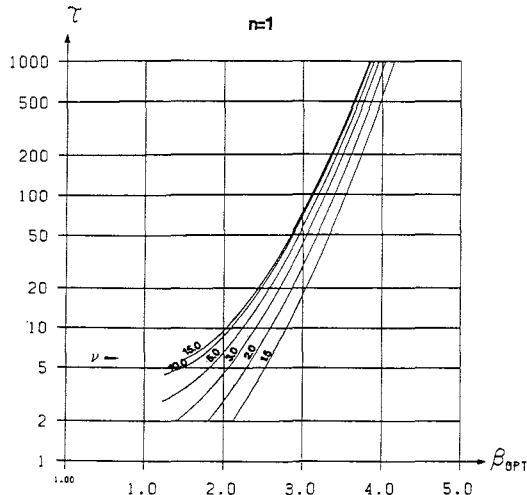


図-4.1 最適安全性指標 β_{opt} ($n = 1$)

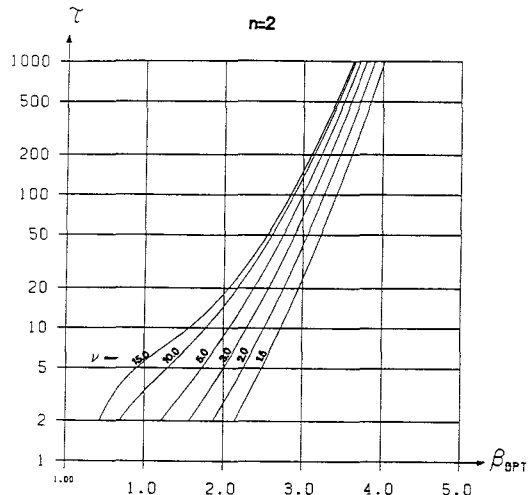


図-4. 2 最適安全性指標 β_{opt} (n = 2)

5. 最適安全性指標 β_{opt} の $\log_{10} \tau$ 、 v の 3

次式による表現

図-4. 1～4. 3を見ると、次数nを固定すれば、最適安全性指標 β_{opt} は $\log_{10} \tau$ （以下 τ_1 と表現する）との、次のような簡単な3次式で表現されそうである。

$$\begin{aligned}\beta_{\text{opt}} &= G(\tau_1, v) \\ &= a_1 \tau_1^3 + a_2 v^3 + a_3 \tau_1^2 v \\ &\quad + a_4 \tau_1 v^2 + a_5 \tau_1^2 + a_6 v^2 \\ &\quad + a_7 \tau_1 v + a_8 \tau_1 + a_9 v \\ &\quad + a_{10} \dots \dots \dots \quad (29)\end{aligned}$$

この式(29)の係数 a_i ($i = 1 \dots 10$) を、
 m 組の τ_1, v の組合せについて、 $\beta_{opt,j}$
 $(j = 1 \dots m)$ を計算し、最小二乗法で決め、
 その結果を表-2に示す。ただし $n=1$ の場合は、
 τ の値が小さいと最適問題とならないことがあります。

$$8 \leq \tau \leq 1000 \quad \dots \dots \dots \quad (30)$$

としてある。

τ が小さい場合に、若干のずれがあるが、この式 (29) によるものと、正確に求めた β_{opt} はほとんど一致している。

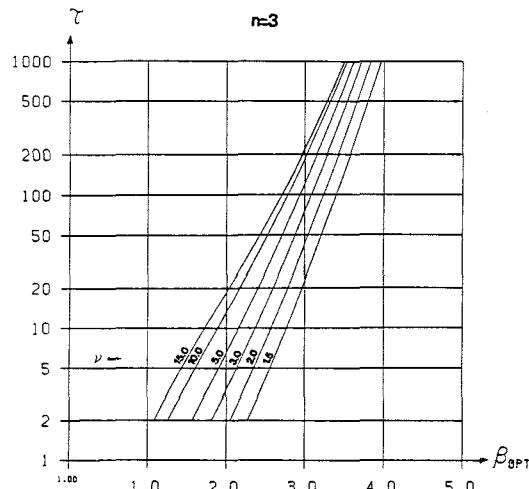


図-4.3 最適安全性指標 β_{opt} (n = 3)

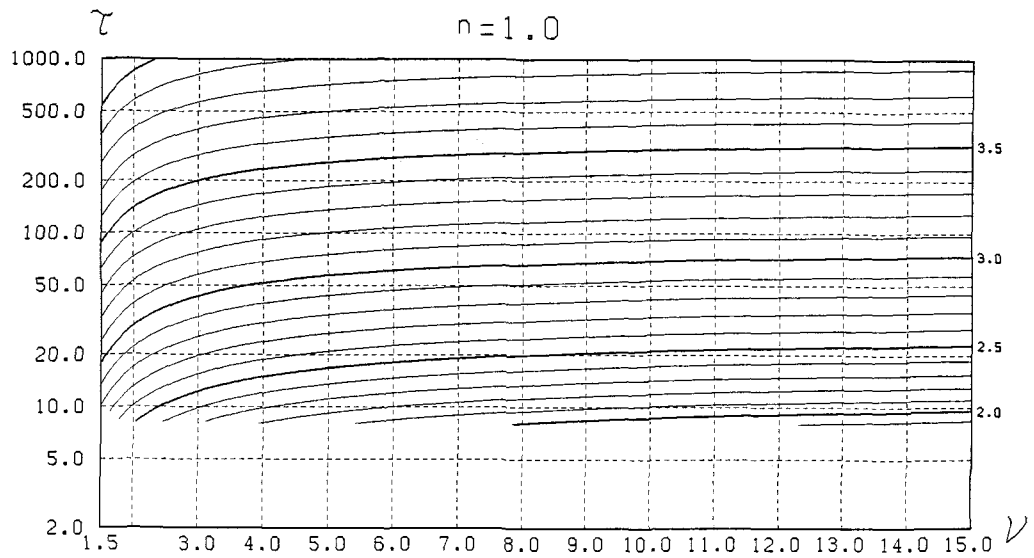


図-5. 1 最適安全性指標 β_{opt} の等高線 ($n = 1$)

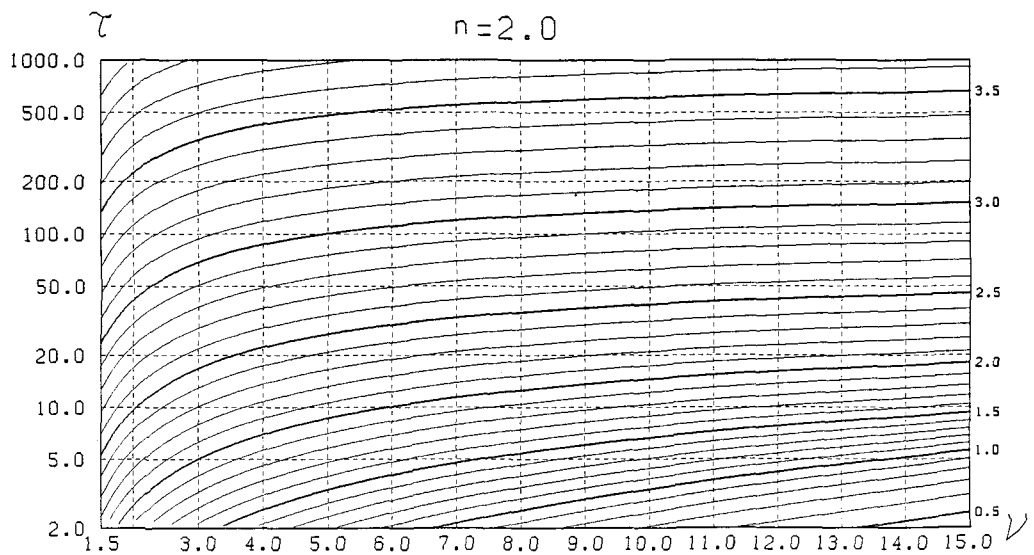


図-5. 2 最適安全性指標 β_{opt} の等高線 ($n = 2$)

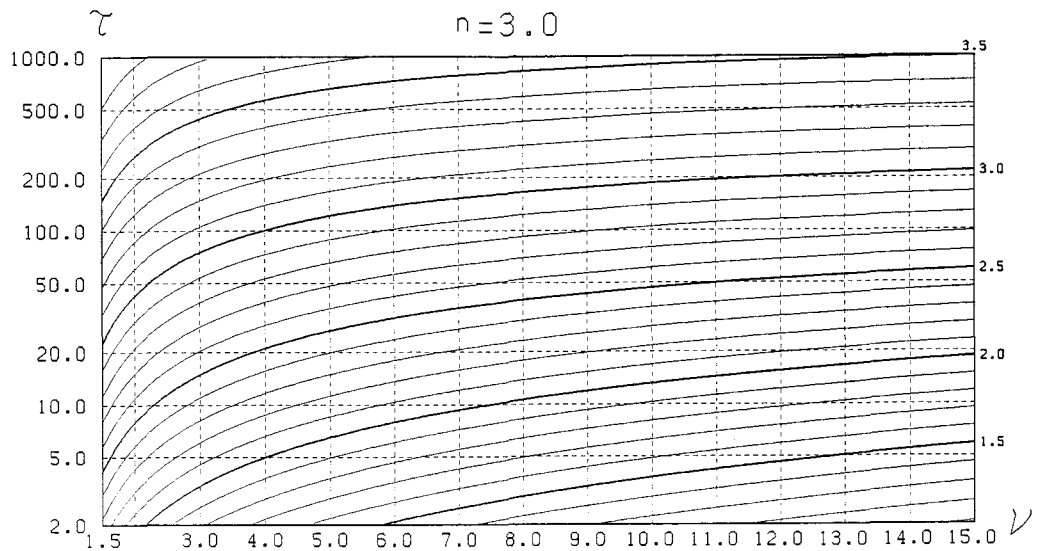


図-5.3 最適安全性指標 β_{opt} の等高線 ($n = 3$)

表-2 3次式係数 a_i の値

n	a ₁	a ₂	a ₃	a ₄	a ₅	a ₆	a ₇	a ₈	a ₉	a ₁₀
1	0.06429	-0.00063	-0.00828	-0.00152	-0.46316	0.02231	0.07034	1.68722	-0.29830	1.70776
1.5	0.08941	-0.00067	-0.01606	-0.00150	-0.57527	0.02379	0.10900	1.79473	-0.36304	1.67652
2	0.02212	-0.00073	-0.01637	-0.00163	-0.16168	0.02572	0.11750	0.95176	-0.39914	2.23806
2.5	-0.01248	-0.00073	-0.00542	-0.00144	0.01126	0.02544	0.06775	0.68993	-0.35283	2.35190
3	-0.01704	-0.00071	-0.00047	-0.00117	0.04132	0.02447	0.04054	0.61305	-0.31912	2.41793

6. 最適な安全のレベルを最適安全性指標 β_{opt} で表現したことについて

本文では、総期待費用最小化原則に基づく設計を最適破壊確率 $p_{f, \text{opt}}$ によらず、最適安全性指標 β_{opt} を用いて表現した。その理由は主として次のようである。

標で議論しても差し支えないと考えられる。

さて式(31)は通常、数%の誤差で成立する。^{4) 5) 7)}しかし β の値が大きくなると、その誤差が数%であっても、破壊確率はかなり違ひ、

となる。⁴⁾⁵⁾⁷⁾ そこで、 β の数%の誤差がどの程度総費用に影響するかについて、次の式で定義する、 β の誤差の影響係数 δ を用いて検討する。

$$\delta = C_T \cdot (\alpha \beta_{opt}) / C_T \cdot (\beta_{opt}) = \eta \cdot (\alpha \beta_{opt}) / \eta \cdot (\beta_{opt}) \quad \dots \dots \dots \quad (33)$$

ここに、 α は β_{opt} の誤差係数で

とする。すなわち、この影響係数 δ が 1 に近いほど、 β_{opt} の誤差が総費用に与える影響は少ないことを意味する。

この影響係数 δ の計算結果の例を、縦軸に $\log_{10} \tau$ 、横軸に δ を取って、図-6. 1～6. 2に示す。

これらの計算結果を見ると、 n 、 ν 、 τ の値の比較的大きい時に、 β_{opt} の誤差の程度をやや上回る影響を総費用に及ぼしているが、ほとんどはこれをかなり下回る影響しか与えていない。

よって、実際の設計問題において、若干の誤差を持って評価されるが、極めて容易に計算できる安全性指標を対象にして、本文の結果が利用されても差し支えないし、また実際的もあると言える。

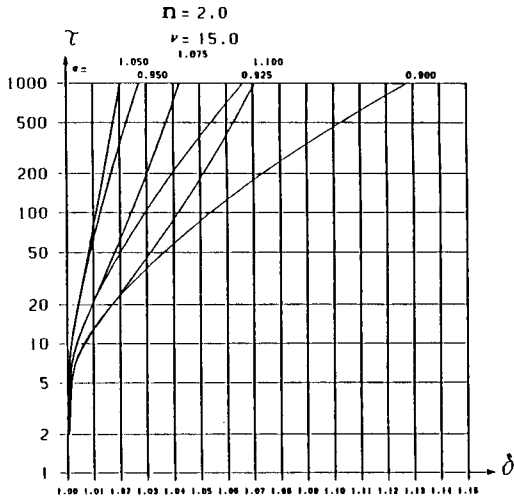
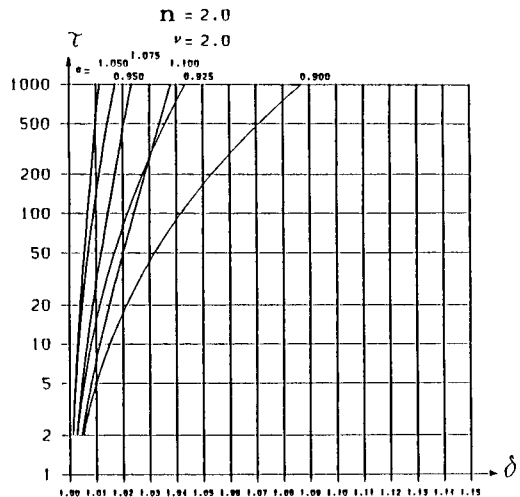


図-6.1 影響係数 δ の計算例 ($n = 2, v = 2$) 図-6.2 影響係数 δ の計算例 ($n = 2, v = 15$)



7. 吟味

本文の定式化では、安全余裕がない場合の初期費用を基本とし、これを用いて費用を無次元化し、かつ安全度の増加に伴う初期費用の増加割合 γ という概念を導入して、初期費用を安全性指標の関数とし、最適安全性指標を求める問題とした。その結果、破壊確率に対応する、最適安全性指標 β_{opt} が、この γ と破壊損失費用の初期費用に対する比 τ 、および初期費用の増加曲線の次数 n の、僅か3個のパラメータにより決まり、簡単な図で示すことが可能となった。

¹⁾ 従来は、前述したように初期費用を公称安全率¹⁾もしくは設計用荷重³⁾の関数としたために、破壊基準関

数の強度項と荷重項を特定な確率分布（正規分布もしくは対数正規分布）に特定して扱われている。したがって本文のような一般性のある議論は出来ない。しかも、強度項を正規分布とするのは適切でなく、また、変動係数の大きい場合、荷重項を対数正規分布とするのも不適切である。

これまで示した図表などから次のことが言える。

- 1) ν (安全度の増加に伴う初期費用の増加割合) 及び n (初期費用の増加曲線の次数) は表-1に見られるように、荷重項の確率分布の形とバラツキの大小によってかなり違った値となる。
- 2) 図-3～5に見られるように、 ν の値が増加すると最適安全性指標 β_{opt} を小さくする働きがあるが、 ν の値がある程度大きくなり、かつてが大きくなるにしたがって、その働きの度合いは減少する。
- 3) 図-4、5に見られるように、 τ の値が増加すると、最適安全性指標 β_{opt} を大きくする働きがある。この τ の値がある程度以上になると、 $\log_{10} \tau$ の値にほぼ比例して β_{opt} の値は大きくなる。
- 4) いずれにしても、破壊損失費用の初期費用に対する比 τ と、初期費用の増加割合 ν 及び初期費用の増加曲線の次数 n が推定できれば、あらかじめ用意した図もしくは式を利用して、最適安全性指標 β_{opt} を容易に求めることができる。
- 5) τ 、 ν 、 n のうち、 n の値の違いは最適安全性指標 β_{opt} に余り影響を与えない。この値を2に固定しても、 β_{opt} の誤差は、特殊な場合 (τ が非常に小さく、 ν がかなり大きいような) を除き一般に小さい。 ν の値がある程度大きくなると、この値の変化も最適安全性指標 β_{opt} にほとんど影響を与えない。総合的に言って、 τ の値が最適安全性指標 β_{opt} の値を基本的に左右する。
- 6) τ 、 ν 、 n の値は特定しにくく、ある幅を持って推定されることが多い。中でも破壊損失費用の初期費用に対する比 τ の推定は困難である上に、この値の変化がもっとも最適安全性指標に影響を与える。
- 7) 表-3には、総期待費用最小時における総期待費用に対する破壊損失期待費用の比 ρ ($= \nu / n$) が示

表-3 ρ

$\tau \backslash n$	1				2				3			
	2	5	10	15	2	5	10	15	2	5	10	15
2	0.049	-	-	-	0.051	0.150	0.282	0.363	0.036	0.094	0.151	0.190
5	0.036	0.060	0.068	-	0.048	0.119	0.206	0.330	0.041	0.102	0.163	0.207
10	0.030	0.040	0.032	0.026	0.045	0.096	0.129	0.157	0.043	0.102	0.154	0.189
50	0.022	0.022	0.015	0.011	0.039	0.059	0.054	0.047	0.045	0.087	0.104	0.106
1000	0.014	0.011	0.007	0.005	0.029	0.029	0.020	0.015	0.041	0.051	0.041	0.033

してある。この表に見られるように、破壊損失費用の初期費用に対する比 τ が小さく、安全度の増加に伴う初期費用の増加割合 ν が大きい場合には、最適安全性指標 β_{opt} の値が小さくなり破壊確率が比較的大きくなるので、総期待費用最小時における総期待費用に対する破壊損失期待費用の比 ρ は、ある程度大きな値となるが、一般的には小さい。したがって、最適時の総期待費用の中に占める破壊損失期待費用は一般に非常に少ない。

8.まとめ

本文で述べた要点をまとめると次のようになる。

- 1) 総期待費用最小化の原則を、破壊確率でなく安全性指標 β を用いて定式化し、数少ないパラメータによって、一般性のある議論を可能とした。
- 2) 無次元化した初期費用は、 $[1 + \{(\nu - 1) / 5^n\} \beta^n]$ と表現でき、通常 $\nu = 1.5 \sim 15$ 、 $n = 1$

～3である。これらの値は荷重項の確率分布の形とバラツキの程度の影響を受ける。

3) 強度項を正規分布とすることも、また変動係数が大きい場合に強度項を対数正規分布とすることも適切でない。

4) 総期待費用最小化の原則に基づく設計における最適安全性指標 β_{opt} は、破壊損失費用の初期費用に対する比 τ と、初期費用の増加割合 ν および初期費用の増加曲線の次数 n の、三つのパラメータによって決まる。

5) 縦軸に $\log_{10} \tau$ をとり、横軸に ν をとって、最適安全性指標 β_{opt} の等高線を示した。

6) 最適安全性指標 β_{opt} を、 $\log_{10} \tau$ 、 ν の3次式で表現した。

7) 比較的簡単な計算で求まり、しかも $\beta = -\Phi^{-1}(p_f)$ の関係がある安全性指標 β を本文の β として用いて差し支えない。

8) 安全度の増加に伴う初期費用の増加割合 ν は、その値が増加すると、最適安全性指標 β_{opt} を小さくする働きがあるが、 ν の値がある程度大きくなり、かつ破壊損失費用の初期費用に対する比 τ が大きくなるにしたがって、その働きの度合いは減少する。

9) 破壊損失費用の初期費用に対する比 τ は、その値が増加すると、最適安全性指標 β_{opt} を大きくする働きがある。この τ の値がある程度以上になると、 $\log_{10} \tau$ の値にはほぼ比例して β_{opt} の値は大きくなる。

10) 破壊損失費用の初期費用に対する比 τ と、初期費用の増加割合 ν の値が推定できれば、あらかじめ用意した図もしくは式を利用して最適安全性指標 β_{opt} は容易に求めることができる。

11) 総合的に言って、三つのパラメータのうち τ の値が最適安全性指標 β_{opt} の値を基本的に左右する。

12) 最適時の総期待費用の中に占める破壊損失期待費用は一般に非常に少ない。

9. あとがき

最適な安全レベルを数値的に示し、その傾向について若干の吟味を加えた。なお総期待費用最小化原則に基づく設計について筆者が有する疑問点については、本文の結果を踏まえて、別稿で議論する予定である。

付記1 $\beta = 5$ を選択したことについて

特に $\beta = 5$ としなければならない理由ではなく、安全度の増加に伴う初期費用の増加割合を定量的に定義するために便宜的に選択したものである。ただし、 $\beta = 5$ は最適安全性指標 β_{opt} を議論する場合の上限値よりやや大きな値であるということも配慮されている。

付記2 τ を常数としたことについて

厳密には、破壊損失費用が初期費用に比例するとは言えない。しかし取敢えずこのようにおいて、損失費用の目安は、何かを基準にしてどの程度かという観点から考えざるをえないと思う。経済的、社会的影響による費用とか、非構造要素の費用を含める場合には、特にこのような比例性は成立しないが、比例性を前提としているというよりも、この τ は費用の目安を立てるための常数と考えている。

付記3 対数正規分布について

文献6)に示した方法で、標準化変数 u_L { = (変数 - 平均値) / 標準偏差 } を横軸にとって表わした、対数正規分布の確率密度関数 $g_L(u_L)$ のグラフを、正規分布のグラフ(図中のNormal)と共に、図-A1

(図中のVは変動係数)に示す。これらの図から変動係数の増加と共に、正規分布と違うものとなり、 u_L の下限値($=1/V$)が次第に平均値($u_L = 0$)に近付き、グラフ形状はいびつになり、 u_L が3を越えても、なかなか0に近付いていない。この u_L の大きい部分の正規分布との違いの模様を見るために図-A 2に、縦軸に超過確率、すなわち $\{1 - G_L(u_L)\}$ (標準化変数 u_L で表わした対数正規分布の分

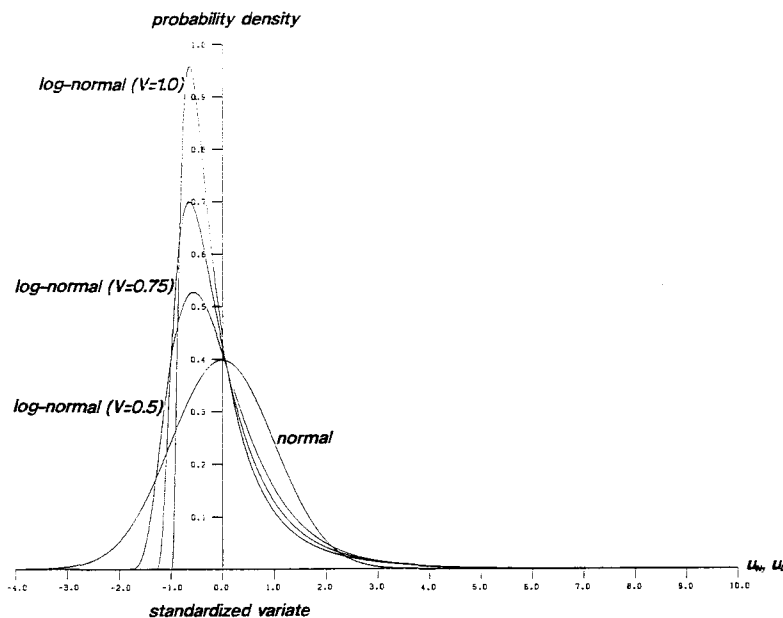


図-A 1 標準化変数で表わした対数正規分布の確率密度関数 ($V = 0.5 \sim 1.0$)

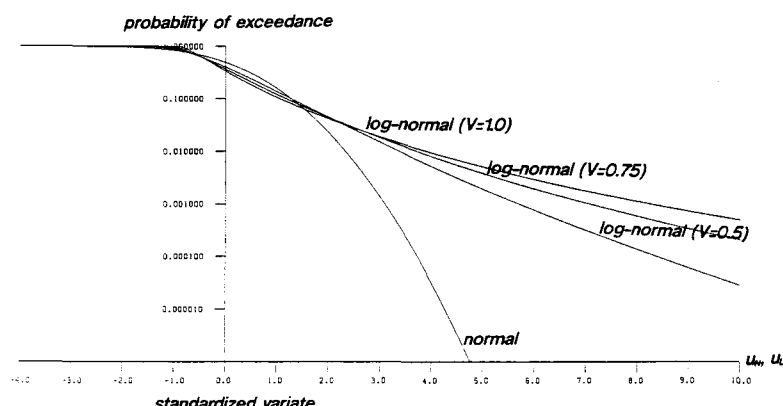


図-A 2 標準化変数で表わした対数正規分布の超過確率 ($V = 0.5 \sim 1.0$)

布関数)の対数値を取って示してある。変動係数が大きくなると、超過確率はなかなか0にならぬかの模様がよく分かる。このため、通常の確率分布と異なり、設計目標安全性指標 β_D がある程度大きくなつた場合、荷重項を対数正規分布だとすると、中央安全率を極端に大きくする必要性が起るのである。

参考文献

- 1) 杉山俊幸、酒井利夫、藤野陽三、伊藤学：構造設計における信頼性レベル・安全率の設定に関する考察
、土木学会論文報告集、第 327号、pp.21-28、1982.
- 2) Lind,N.C. : Approximate Analysis and Economics of Structures, Proc. of ASCE, Jour. of the Structural Division, Vol.102, No.ST6, pp.1177 ~1196, 1977.
- 3) Jun KANDA : Optimum Reliability for Probability-Based Structural Design, Journal of the Faculty of Engineering, The University of Tokyo, series B, May 1990.
- 4) 長尚：安全性指標の有効性について、構造工学論文集、Vol.37A、pp.459-466、1989.
- 5) CHOU, Takashi : Utility of Reliability Index for Structural Design, Proc. of ICOSSAR'89, Vol. 3, pp.1699-1706, 1989.
- 6) CHOU, Takashi : Probability Distributions by Standardized Variate, Proc. of JSCE, Structural Eng. /Earthquake Eng., Vol.2, No.2, Oct. 1985.
- 7) 長尚：構造物の信頼性解析に用いる信頼性指標について、JCOSSAR'87論文集、Vol.1, pp.305-340, 1987.

(1990年10月12日受付)